

Vorderflankendiskriminatör

Impulsziel-diskriminatör

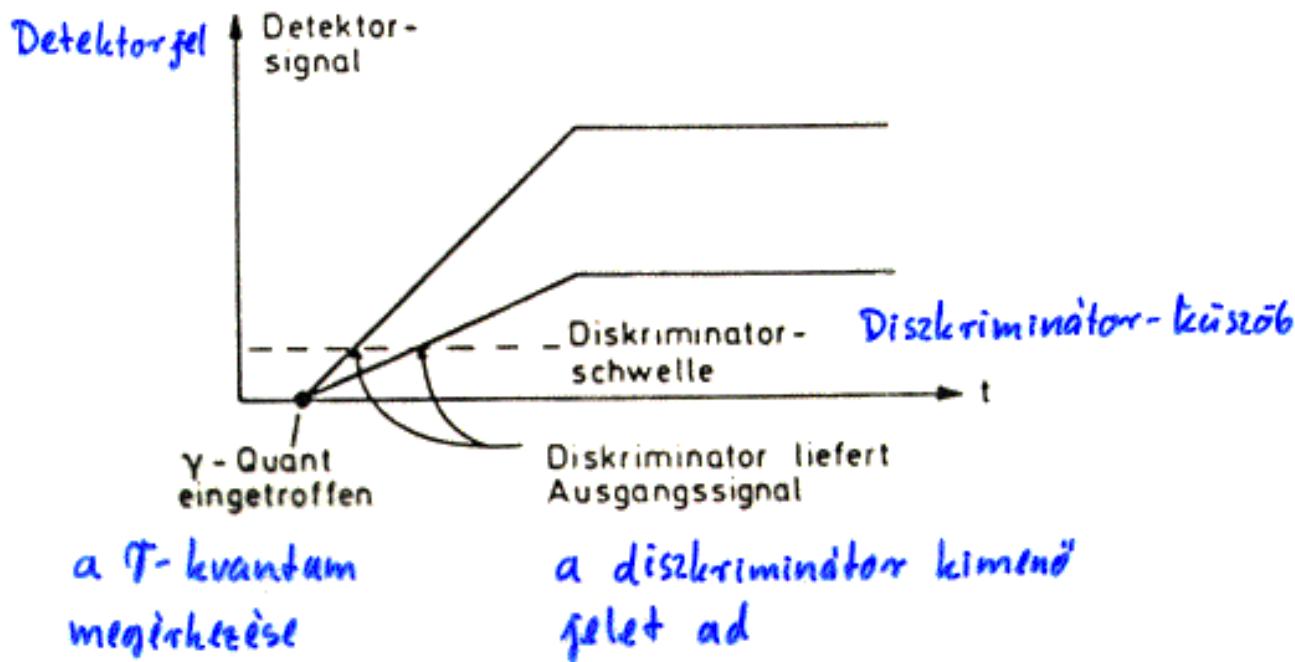


Abb. 5.14:

Ursache der Zeitunschärfe für verschiedene hohe Eingangssignale beim Vorderflankendiskriminator

Constant-Fraktion-Diskriminatör

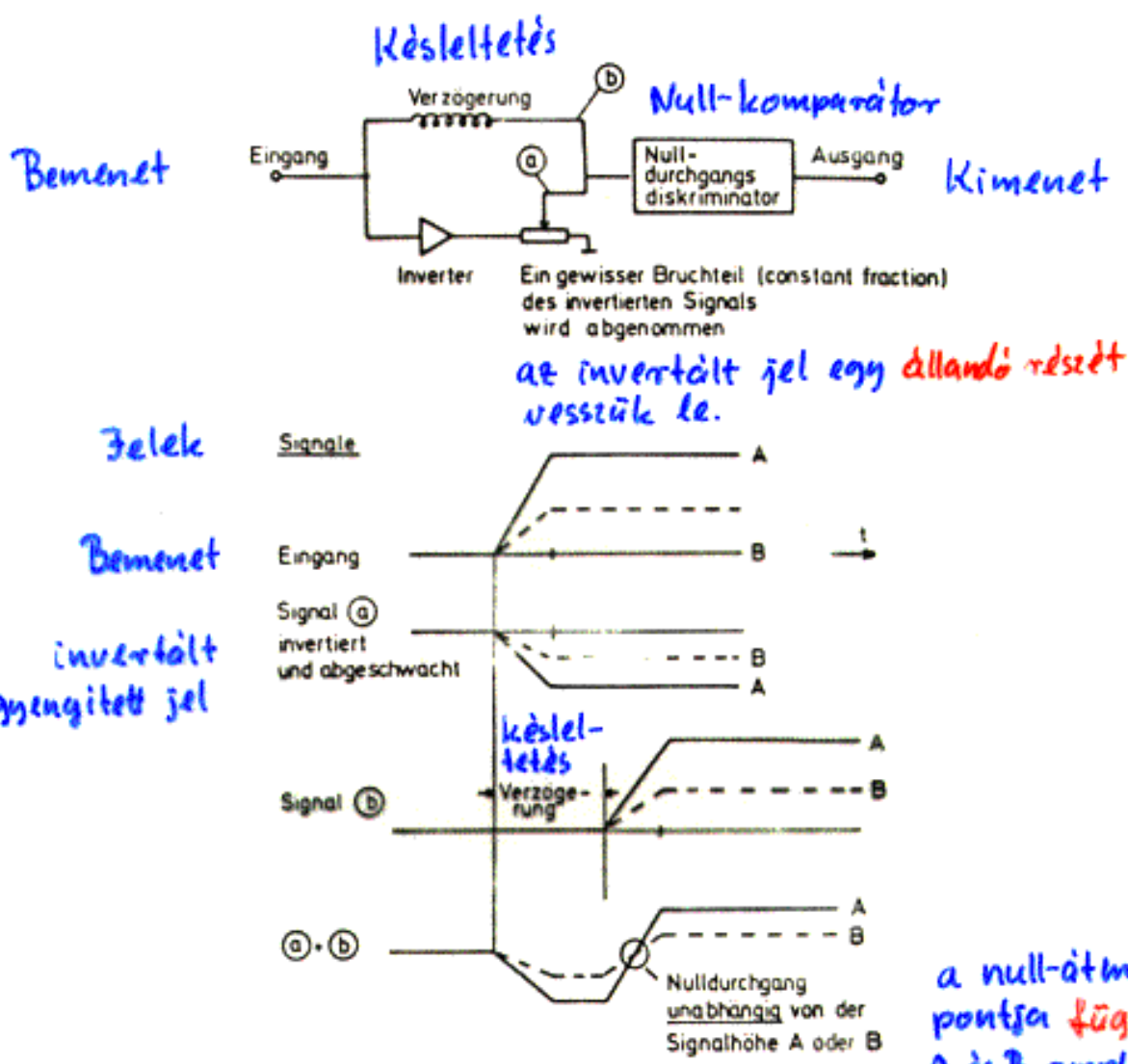


Abb. 5.15: Oben: Ersatzschaltbild für den Constant-Fraction-Diskriminatör. Unten: Signalverlauf an den Stellen a und b und nach Vereinigung der beiden Signale a + b

Zeit-Pulshöhen-Wandler (TPC)

(time-pulseheight-converter)

idő-amplitúdó-konverzter

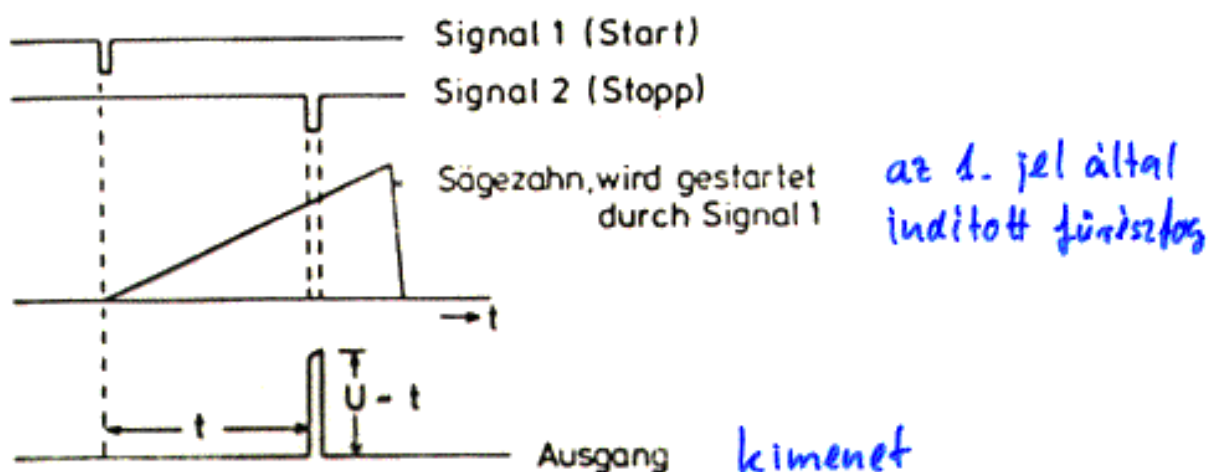


Abb. 5.16:

Prinzip des Zeit-Pulshöhen-Wandlers (TPC): das erste Signal startet einen Sägezahnimpuls; zum Zeitpunkt des zweiten Signals wird die Spannung des Sägezahns abgefragt

Für Zeitbereiche $\tau \gtrsim 100\text{ ns}$ auch unmittelbare Zeit-Digital-Wandler (TDC: time-digital-converter) realisierbar (Zähler gestartet und gestoppt).

$\tau \gtrsim 100\text{ ns}$ esetén közvetlen idő-digitál-konverzió is lehetséges (számláló indul és leáll).

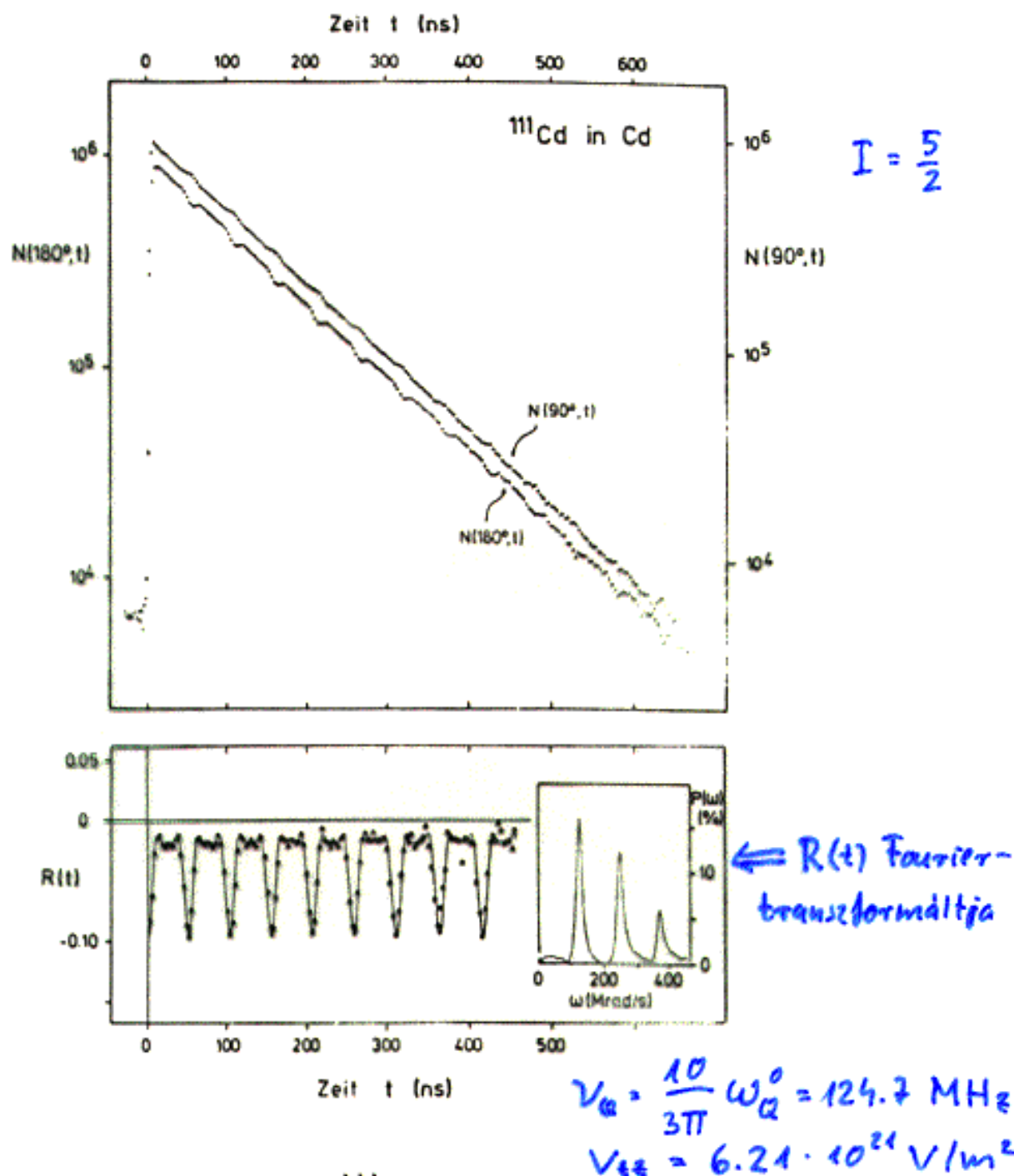


Abb. 5.18: PAC-Spektren für ^{111}Cd in Cadmium. Im oberen Teil des Bildes sind die Koinzidenzzählraten $N(\theta, t)$ für $\theta = 90^\circ$ und $\theta = 180^\circ$ aufgetragen, im unteren Teil das daraus abgeleitete Zählratenverhältnis $R(t)$. Die durchgezogene Kurve ist eine Anpassung mit der Theoriefunktion (5.53). Eingeblendet ist auch eine Fourier-Analyse des Meßspektrums $R(t)$, worin deutlich drei Frequenzen sichtbar sind

$$\text{Idee: } R(t) = A_{22} G_{22}(t) = A_{22} \sum_{n=0}^3 \gamma_{2n} \cos n \omega_0^0 t$$

$$\gamma_{20} = 0.20; \gamma_{21} = 0.37; \gamma_{22} = 0.29; \gamma_{23} = 0.14$$

Integralis perturbált f-f szöghorreláció

Akkor alkalmazzák, ha

$$\Delta t \gtrsim \tau_N$$

↑
kísérleti időfelbontéképesség ($\approx 10^{-9}$ s)

$G_{k_1 k_2}^{N_1 N_2}(t)$ helyett csak a

$$\overline{G_{k_1 k_2}^{N_1 N_2}} = \frac{1}{\tau_N} \int_0^\infty e^{-\frac{t}{\tau_N}} G_{k_1 k_2}^{N_1 N_2}(t) dt$$

integrált mérjük.

Példa: eggyirányú mágneses tér, merőleges geometria

$$W_\perp(\theta, t, B_z) = \sum_k b_k \cos[k(\theta - w_L t)]$$

$\uparrow \frac{q\mu_0 B_z}{h}$

Integralis szöghorreláció:

$$\begin{aligned} \overline{W_\perp(\theta, B_z)} &= \frac{1}{\tau_N} \int_0^\infty e^{-\frac{t}{\tau_N}} W_\perp(\theta, t, B_z) dt = \\ &= \frac{1}{\tau_N} \sum_k b_k \int_0^\infty e^{-\frac{t}{\tau_N}} \cos[k(\theta - w_L t)] dt = \\ &= \sum_k b_k \frac{\cos[k(\theta - \Delta\theta)]}{\sqrt{1 + (k \tau_N w_L)^2}} \end{aligned}$$

\leftarrow forgás
 \leftarrow attenuáció

$$\Delta\theta = \frac{1}{k} \arctan(k \tau_N w_L)$$

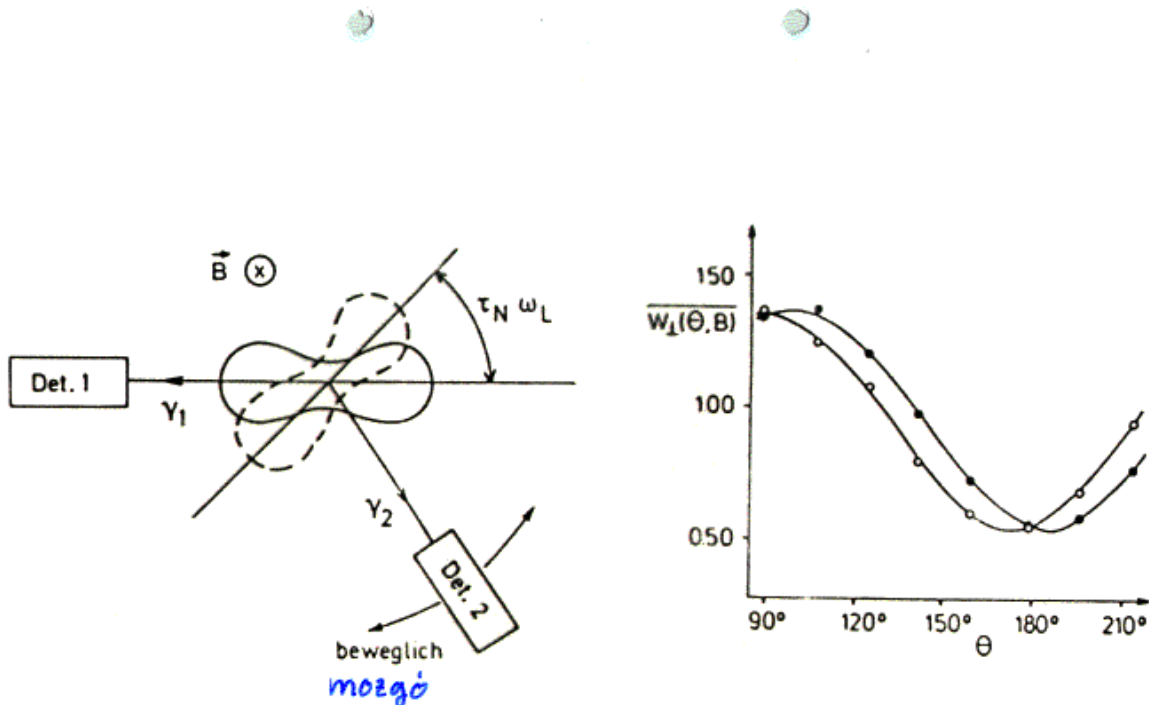


Abb. 5.25: Experimentelle Anordnung für eine IPAC-Messung (links) und Meßwerte (rechts) für die 604 - 317 keV Kaskade von ^{192}Pt in Eisen für zwei entgegengesetzte Richtungen des äußeren B -Feldes (KAT 75)

^{192}Pt wasban (604 keV - 317 keV kaszkád)

Kis elfordulásokra ($\gamma_N \ll \frac{1}{\omega_L}$):

$$W_{\perp}(0, B_z) = \sum_k b_k \cos[k(\theta - \gamma_N \omega_L)]$$

$$\Delta \theta = \gamma_N \omega_L = \frac{-\gamma_N \mu_N}{\hbar} g B_z$$



g vagy B_z meghatározható
(ha a másik ismert)

Perturbált γ -rögzeloszlás (PAD)

(perturbed angular distribution)

A magspin irányítottsága egy magreakció során behövethetőt impulzusnyomaték-átadás következménye.

Az izomér állapot kialakulásának időpontja megállapítható

- egy, a magreakcióból keletkezett részecske kimutatása által

vagy

- pulzált nyiláb segítséggel.

Kernreaktion

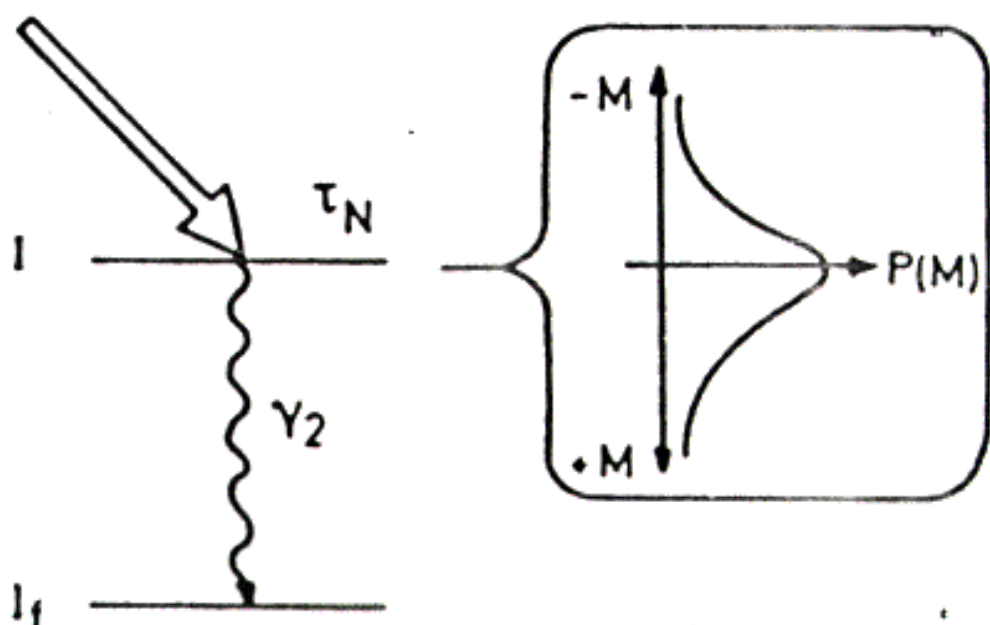


Abb. 5.22:

Variante der PAC-Methode (**PAD**). Der bei einer Kernreaktion übertragene Drehimpuls steht senkrecht auf der Strahlachse, d.h. die Unterzustände mit kleinen M -Werten werden bevorzugt bevölkert. Die resultierende anisotrope γ_2 -Winkelverteilung (bezüglich der Strahlachse) kann während der Lebensdauer τ_N unter dem Einfluß einer Hyperfeinwechselwirkung präzidieren

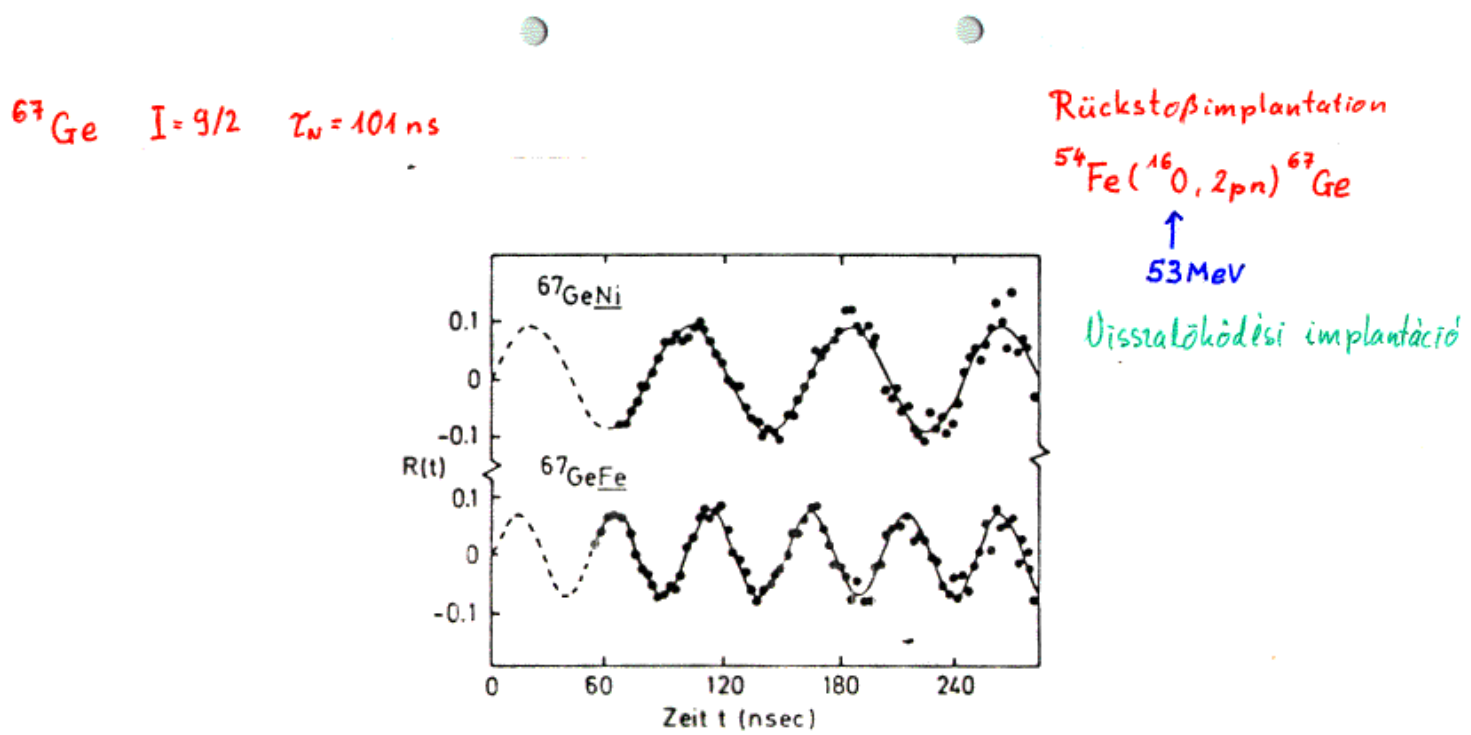


Abb. 5.23: $R(t)$ -Spektren mit Larmcrpräzession von ^{67}Ge -Sonden in Nickel und Eisen bei $T = 300\text{ K}$ (RAG 78)

Tranzisiens mágneserek

$$\Delta \Theta = \Delta \Theta(B_0) + \Delta \Theta(B_{\text{trans.}}) =$$

$$= -\frac{g\mu_N}{t_h} (B_0 \gamma_N + B_{\text{trans.}} \gamma_1)$$

↑ ↑
 tranzisiens effektív idő
 indukció $\gamma_1(\gamma_N, \gamma_f, \gamma_a)$
 ↓ ↑
 átrepülési idő feketödési idő

Ha $\gamma_N \ll \gamma_f$ és

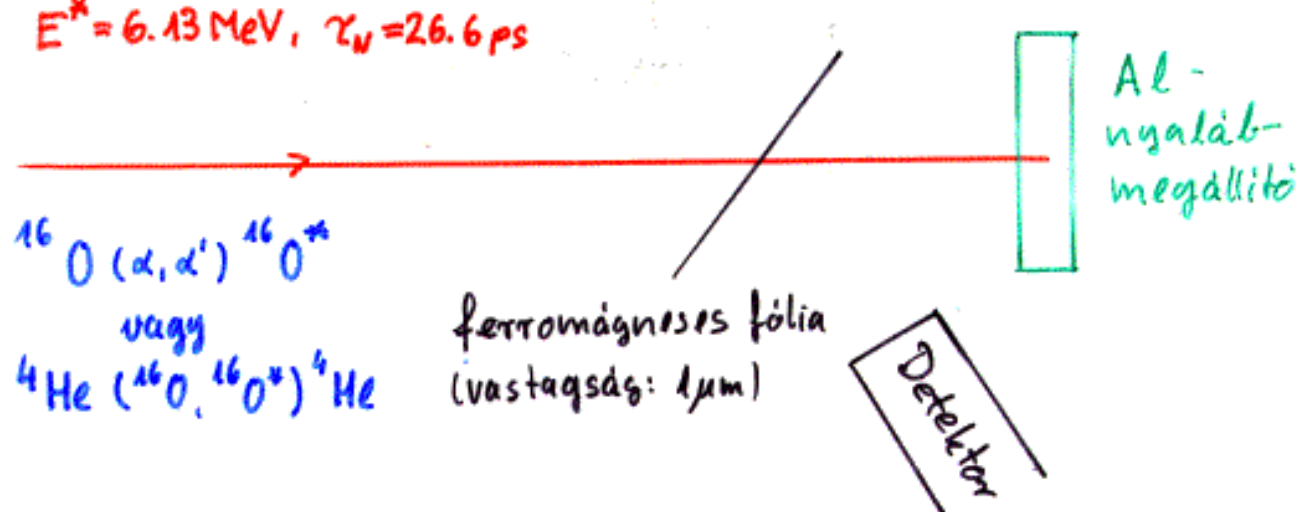
$$\gamma_N \ll \gamma_a, \text{ akkor } \gamma_1 = \gamma_N$$

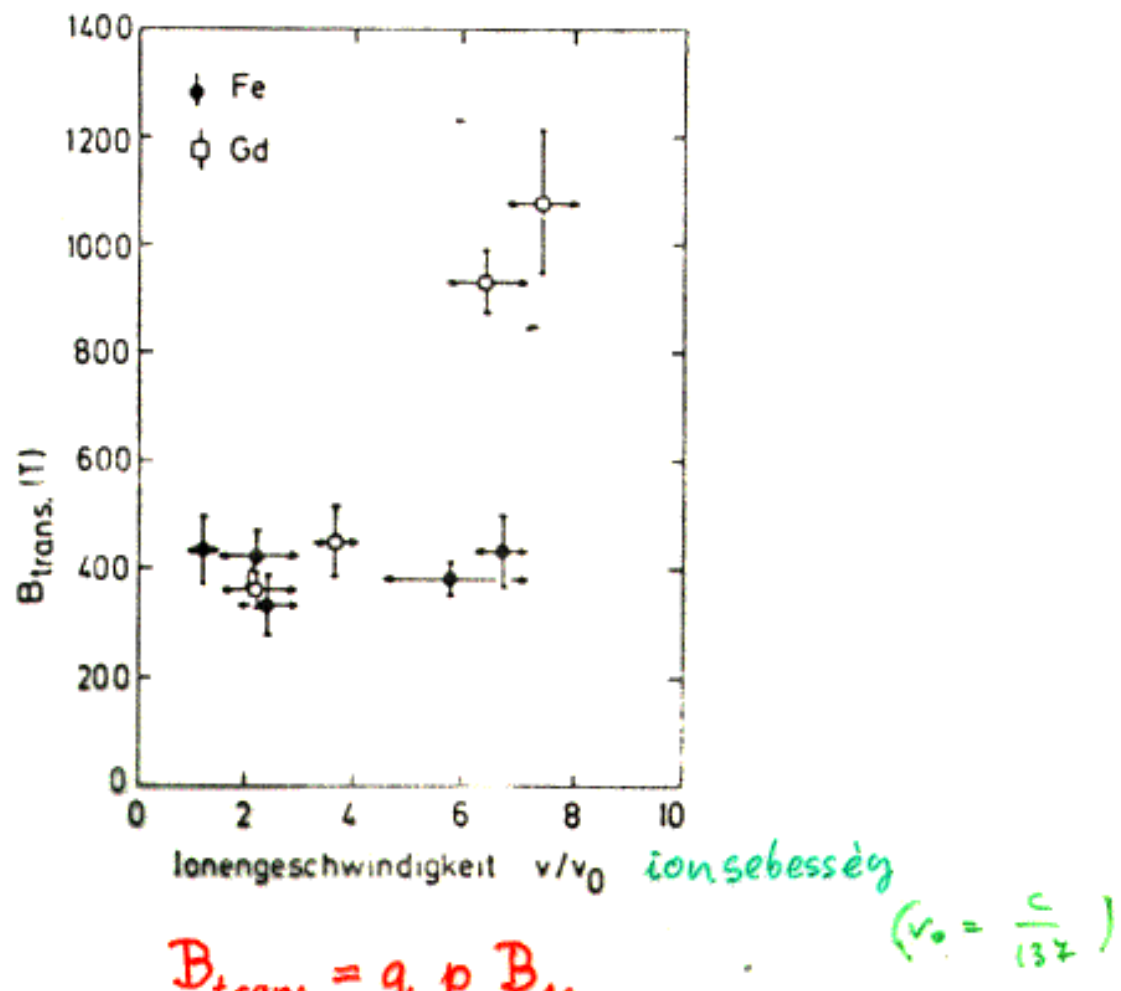
Ha $\gamma_a \ll \gamma_N$ és

$$\gamma_a \ll \gamma_f, \text{ akkor } \gamma_1 = \gamma_a$$

Példa: ^{16}O (visszalöködési) implantációjára ferromágneses fóliákba

$$E^* = 6.13 \text{ MeV}, \gamma_N = 26.6 \text{ ps}$$





$$B_{\text{trans.}} = q_r p B_{1s}$$

Wahrscheinlichkeit für ein K-Loch Polarisationsgrad Fermi-Kontaktfeld von einem 1s-Elektron

$$(v_0 = \frac{c}{137})$$

Abb. 5.26:

Transientes B-Feld für α Kerne beim Durchflug durch Fe und Gd Folien als Funktion der Ionengeschwindigkeit (SPE 85)

$$B_{\text{trans.}} = q_r p B_{1s}$$

egy K-lyuk
valószínűsége

polaritáció
foka

egyetlen 1s-elektron
Fermi-féle kontakt-
tere

IPAD - Stroboskopische Methode

(Christiansen, Mahnke, Recknagel, Riegel, Weyer, Wittkun; 1968)

Stroboszkópius módszer

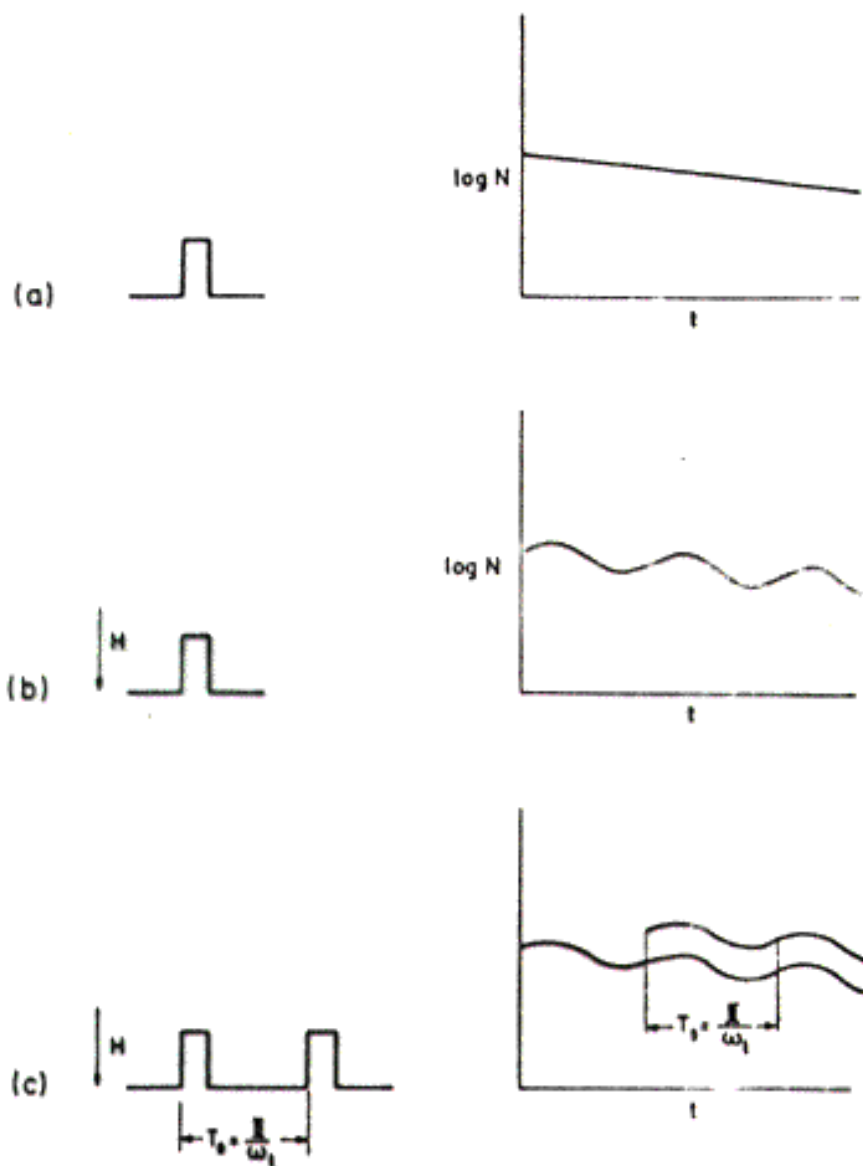


FIG. 4. Pulse beam experiments for high precision hf determinations: (a) the exponentially decaying radioactive count rate N from a single pulse; (b) the oscillating pattern Larmor precession from a single pulse with an applied magnetic field H on the target; (c) the build-up on the resonance of (b) from repeated pulses at repetition rate $T_0 = \tau / \omega_L$.

$$T_0 = \frac{\pi}{\omega_L}$$

↑

Puls-Wiederholungszeit

Impulzus-ismétlődési idő

Müon - spin - rotáció (μ SR)

Müonok: leptonok

$$\mu^+ \longleftrightarrow \mu^-$$

egymás antireszecskei

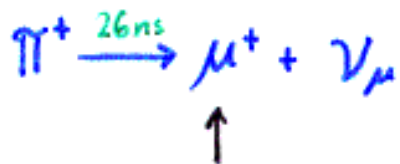
Viselkedésük kondenzált rendszerekben nagyon különböző.

μ^+ : a protonhoz hasonlóan viselkedik
(főleg rácsközi helyen található)

μ^- : az elektronhoz hasonlóan viselkedik
(exotikus atomokat képez)

Médszer

Előállítás: pionbomlással



Az így keltett müonok a pionok tömegközépponti rendszerében 100%-osan polarizáltak.



Spin	0	$1/2$	$1/2$
------	---	-------	-------

Helicitás	$-1 \leftarrow -1$
-----------	--------------------

A π^+ -bomlás

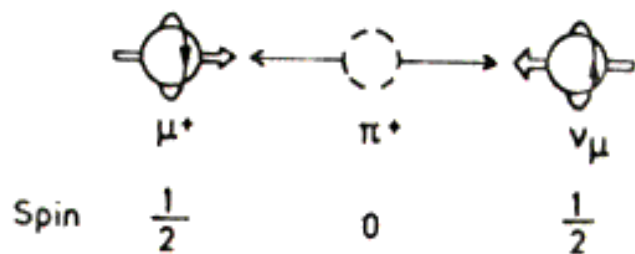


Abb. 8.1:

π^+ -Zerfall. Der Spin des Myons steht antiparallel zur Emissionsrichtung. Im Ruhesystem des Pions beträgt die Energie des emittierten Myons 4,12 MeV

A müon spinje a kibocsátás irányával antiparalell. A pion tömegközépponti rendszerében a kibocsátott müon energiája 4,12 MeV.

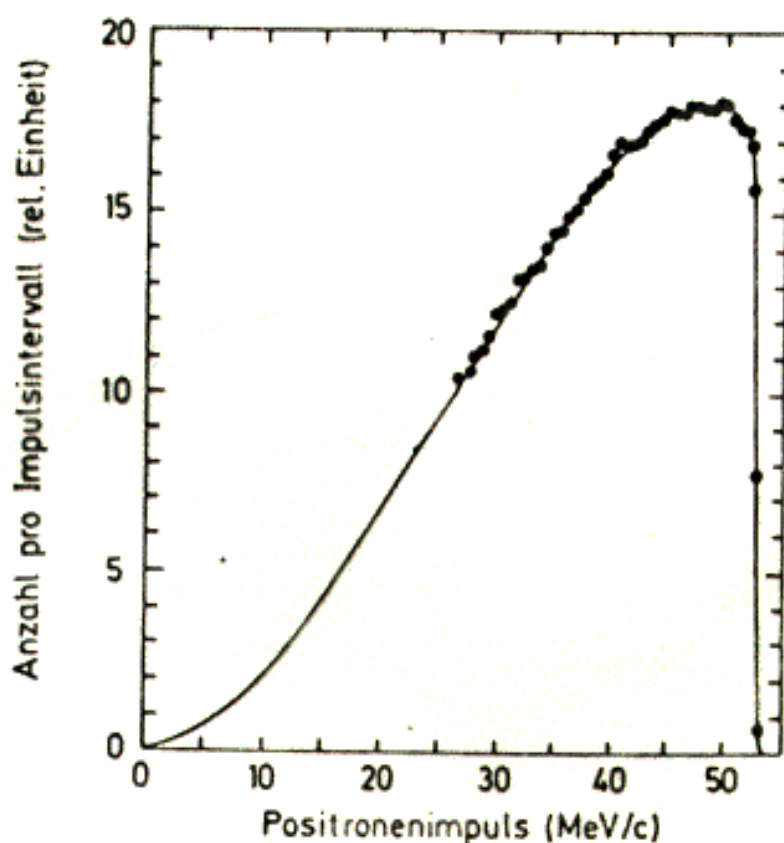


Abb. 8.2:
Impulsspektrum der Positronen beim Zerfall des positiven Myons. Nach (BAR 65)

A pozitív müön bomlása során keletkező pozitronok impulsetoszlása

Mittlere Reichweite in Al: $\sim 5\text{cm}$

Atlagos behatolási mélység Al-ban: $\sim 5\text{cm}$

Müon-bomlás:



A pozitronok nagy valószínűséggel bocsátják ki a müon-spin irányában.

A μ^+ szilárdtest fizika szempontjából fontos tulajdonságai:

spin	1/2
tömeg	$105.659 \text{ MeV}/c^2 = 206.769 m_e$
giromágneses arány	$8.5161 \cdot 10^8 \frac{\text{rad}}{\text{s T}}$
bomlás	$\mu^+ \rightarrow e^+ + \nu_e + \bar{\nu}_\mu$
átlagos élettartam ($\gamma = T_{1/2} \ln 2$)	$2.197 \cdot 10^{-6} \text{ s}$
polarizáció	100 %
a pozitron-energiára átlagolt szögeloszlás	$1 + 0.33 \cos \theta$
jelleg	könnyű proton

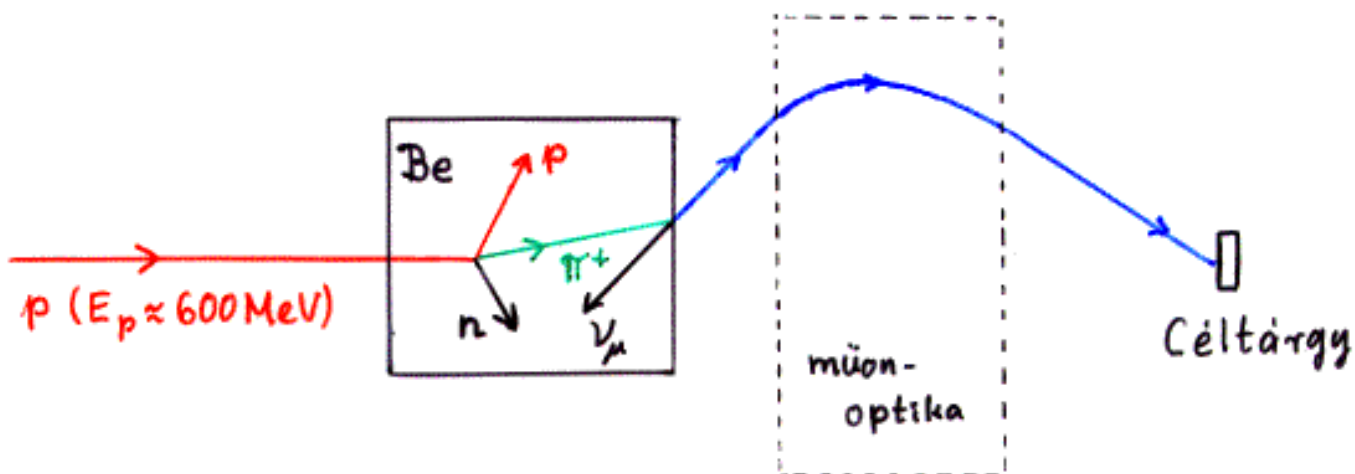
Müon-nyalábok

"Arizona - müonok"

Megállított pionok bomlásából származnak.



100%-osan polarizáltak.



$$E_\mu = 4.1 \text{ MeV}$$

(felületi müonok)

Intenzitás: $10^6 \dots 10^7 \mu^+/\text{s}$

- Elönyök:
- nagyfokú polarizáltság
 - erős fékezés → vékony minták vizsgálatára is alkalmas

- Hátrányok:
- erős fékezés ⇒ nehéz megfelelő ablakot készíteni
 - csak μ^+ állítható elő ilyen módon.

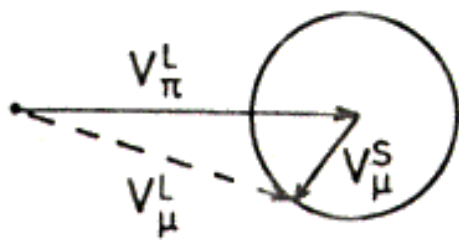


Abb. 8.3:

Kinematik beim Pionenzerfall im Flug. Dargestellt sind die Geschwindigkeitsvektoren für das Pion bzw. Myon im Schwerpunkt (S)- bzw. Laborsystem (L)

Repülés közben történő pion bomlás kinematikája.

V_π^L a pion sebessége a laborsrendszerben

V_μ^L a müon - - - a - - -

V_μ^S a - - - - a pion tömegközépponti
rendszerében.

A laborsrendszerben a müon sebessége irányával kis megváltozásra hozzá a müon spin-irányával nagy megváltozásra tartozhat.

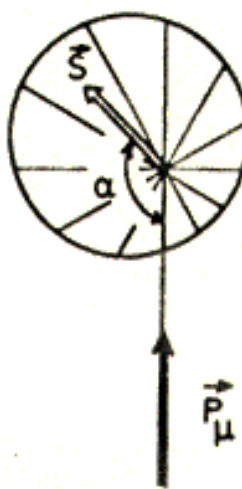
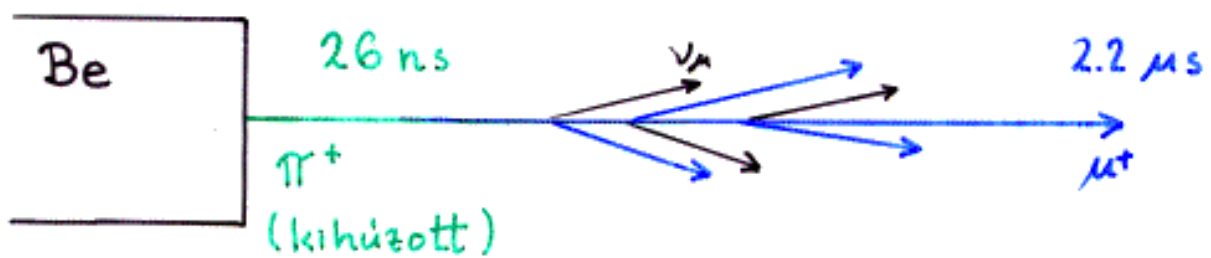


Abb. 8.4:

Winkelverteilung der emittierten Positronen beim Myonzerfall im Polardiaagramm. Die gezeichnete Situation entspricht dem Fall, daß sich der Spin um den Winkel $\alpha = \omega_L t$ gegenüber der ursprünglichen Richtung (antiparallel zum Myonenimpuls) gedreht hat

A müonbomlás során kibocsátott pozitronok mögöloszlásának polárdiagrammja. Az ábrázolt helyzet annak az esetnek felel meg, hogy a spin az eredeti (a müon impulzusával ellentétes) irányhoz képest $\alpha = \omega_L t$ mögöt fordult el.

Gyors müonok



A berillium-targetból külső feszültséggel „kihúzott” pionok röptükben bomlanak.

Elöny: • nagyobb impultus ($\sim 100 \text{ MeV}/c$)

Hátrányok: • gyenge feketeodés \Rightarrow csak vastag minták vizsgálhatók
• a polarizáltság nem teljes

Mérőberendezés

Elv: a müon-impultussal eredetileg ellentett irányú spin a hiperfinom térben precesszál. A pozitron emissziójának valószínűsége ezzel együtt forog. A pozitron-beültesszámot detektáljuk egy rögzített irányban a müon-implantáció óta eltelt idő függvényében.

$$W(\phi, t) = 1 + A \cos(\phi - \omega_L t)$$

\uparrow Larmor-frekvencia

A pozitron-energiára átlagolva: $A = \frac{1}{3}$